

УДК 621.3113.31

ВИБРОДИАГНОСТИКА НЕСИММЕТРИИ  
ФАЗНОГО ТОКА АСИНХРОННОГО ЭЛЕКТРОПРИВОДА

А. В. ЛУКЬЯНОВ, А. И. РОМАНОВСКИЙ  
ФГБОУ ВПО «ИРКУТСКИЙ ГОСУДАРСТВЕННЫЙ УНИВЕРСИТЕТ  
ПУТЕЙ СООБЩЕНИЯ»  
Иркутск, Россия

В реальных условиях эксплуатации асинхронного электропривода вспомогательных машин электровоза часто его отдельные фазы нагружены несимметрично в силу ряда внутренних и внешних причин. Электромагнитные силы, действующие в воздушном зазоре между статором и ротором асинхронных электродвигателей, имеют характер вращающихся или пульсирующих силовых волн. Максимальная вибрация возбуждается основной волной вращающегося магнитного поля. Несимметрия фазных токов приводит к возрастанию тангенциальной вибрации и пульсирующего вращающего момента на удвоенной частоте сети. Радиальные силы также способствуют деформации и колебаниям статора.

Рассмотрим механизм возникновения моментов и радиальной вибрации при несимметрии фазного тока. Значение и распределение радиальных и тангенциальных магнитных сил в воздушном зазоре определяется как [1]:

$$p_r = 4 \cdot 10^5 \cdot b^2(\vartheta, t); \quad p_\tau = a(\vartheta, t) \cdot b(\vartheta, t) \cdot 10^2,$$

где  $a(\vartheta, t)$  – линейная токовая нагрузка статора или ротора;  $b(\vartheta, t) = f(\vartheta, t) \cdot \Lambda(\vartheta, t)$  – магнитная индукция в воздушном зазоре в точке с координатой  $\vartheta$  в момент времени  $t$ ;  $f(\vartheta, t)$  и  $\Lambda(\vartheta, t)$  – мгновенные значения результирующей м.д.с. обмоток статора и ротора и магнитной проводимости зазора.

$$\begin{aligned} a(\vartheta, t) &= A_1 \cos(p\vartheta - \omega_l t - \varphi_{a1}) + A_2 \cos(p\vartheta + \omega_l t - \varphi_{a2}); \\ b(\vartheta, t) &= B_1 \cos(p\vartheta - \omega_l t - \varphi_{b1}) + B_2 \cos(p\vartheta + \omega_l t - \varphi_{b2}), \end{aligned}$$

где  $A_1, A_2, B_1, B_2$  – линейная токовая нагрузка статора и индукция результирующего магнитного поля в воздушном зазоре прямого и обратного следования фаз;  $p$  – число пар полюсов,  $\omega_l = 2\pi f_c$ ;  $f_c$  – частота сети (50 Гц);  $\varphi_{a1}, \varphi_{a2}$  – фазы прямого и обратного тока статора;  $\varphi_{b1}, \varphi_{b2}$  – фазы индукции магнитного поля в зазоре прямого и обратного следования фаз. Получены точные значения тангенциальных  $p_\tau$  и радиальных  $p_r$  сил:

$$\begin{aligned}
p_\tau &= 0,5 \cdot [A_1 B_1 \cos(2p\vartheta - 2\omega_1 t - \varphi_{a1} - \varphi_{b1}) + A_1 B_1 \cos(\varphi_{b1} - \varphi_{a1}) + \\
&+ A_1 B_2 \cos(2p\vartheta - \varphi_{a1} - \varphi_{b2}) + A_1 B_2 \cos(2\omega_1 t + \varphi_{a1} - \varphi_{b2}) + \\
&+ A_2 B_1 \cos(2p\vartheta - \varphi_{a2} - \varphi_{b1}) + A_2 B_1 \cos(2\omega_1 t - \varphi_{a2} + \varphi_{b1}) + \\
&+ A_2 B_2 \cos(2p\vartheta + 2\omega_1 t - \varphi_{a2} - \varphi_{b2}) + A_2 B_2 \cos(\varphi_{b2} - \varphi_{a2})]; \\
p_r &= \frac{1}{4\mu_0} \cdot [(B_1^2 + B_2^2) + B_1^2 \cos 2(p\vartheta - \omega_1 t - \varphi_{b1}) + B_2^2 \cos 2(p\vartheta + \omega_1 t - \varphi_{b2})] + \\
&+ \frac{1}{2\mu_0} \cdot [B_1 B_2 \cos(2p\vartheta - \varphi_{b1} - \varphi_{b2}) + B_1 B_2 \cos(2\omega_1 t + \varphi_{b1} + \varphi_{b2})] . 
\end{aligned} \tag{9}$$

После интегрирования по угловой координате  $\vartheta$  выражения врачающего момента:  $M_{bp} = 2\pi R^2 l \int_0^{2\pi} p_r d\vartheta$ , получим:

$$\begin{aligned}
M_{bp} &= \pi R^2 l [A_1 B_1 \cos(\varphi_{b1} - \varphi_{a1}) + A_2 B_2 \cos(\varphi_{b2} - \varphi_{a2}) + \\
&+ A_1 B_2 \cos(2\omega_1 t + \varphi_{a1} - \varphi_{b2}) + A_2 B_1 \cos(2\omega_1 t - \varphi_{a2} + \varphi_{b1})]
\end{aligned}$$

Уравнение врачающего момента содержит постоянные и периодически изменяющиеся от времени составляющие с удвоенной круговой частотой сети. На рис.1 приведен график изменения этих составляющих врачающего момента от степени несимметрии тока в фазах  $I_2 / I_1$ , ( $I_1, I_2$  – токи прямой и обратной последовательности) для электродвигателя экспериментальной установки.

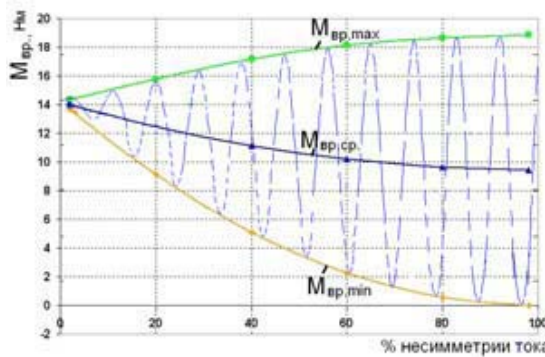


Рис. 1. График изменения врачающего момента электродвигателя АИР90L4УЗ от несимметрии тока одной фазы

Интегрирование тангенциальной силы по частям в пределах половины периода  $T/2$ , т.е. в пределах половины полюсного деления  $\vartheta_0 = 0; \vartheta_1 = \pi/4$  (при числе пар полюсов  $p = 2$ ) в общем интервале  $\vartheta = 0 \div \pi/2$ , дает возможность перейти от распределенной по кольцевому зазору системы тангенциальных сил  $P_\tau$  к двум эквивалентным сосредоточенным силам:  $P_{\tau\Sigma\max}$  и  $P_{\tau\Sigma\min}$  (рис. 2), приложенным на межполюсном делении с угловым интерва-

лом  $\pi/4$  и вращающимся вместе с электромагнитным полем статора со сдвигом по времени на половину периода  $T/2$ . Здесь же приведено результирующее значение  $P_{\Sigma\Sigma}$  двух интегральных сил для 100 % несимметрии тока.

Спектр функции  $P_{\Sigma\Sigma}$  приведен на рис. 3. Соотношение спектральных составляющих на частотах кратных 100 Гц можно выразить полиномиальной зависимостью:

$$A_{n100} = A_{100}(-9,3 \cdot 10^{-7} \cdot f^3 + 8,6 \cdot 10^{-4} \cdot f^2 - 0,26 \cdot f + 26,9),$$

где  $n = 2,3,4$ ;  $A_{n100}$  – амплитуда колебаний тангенциальной силы на гармониках  $n \cdot 100$  Гц;  $A_{100}$  – амплитуда колебаний тангенциальной силы на гармонике 100 Гц;  $x$  – частота, Гц.

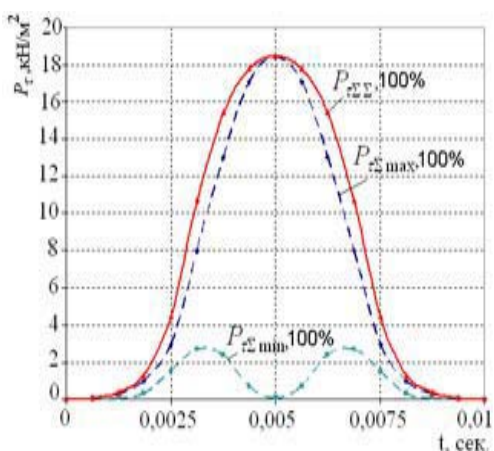


Рис. 2. Значение  $P_{\Sigma\Sigma}$  для 100 % несимметрии тока

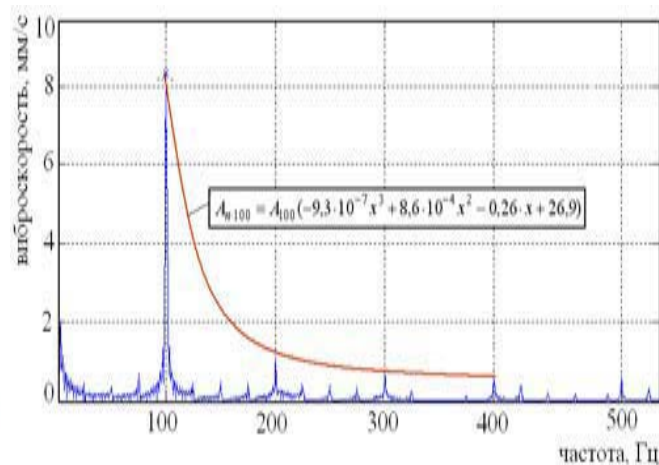


Рис. 3. Спектр результирующей силовой функции  $P_{\Sigma\Sigma}$

При интегрировании распределенной радиальной силы  $p_r$  по всему кольцевому зазору получим силу электромагнитного притяжения ротора к статору, при интегрировании  $p_r$  в пределах межполюсного деления, получим силы, деформирующие статор.

Таким образом, выявлены дополнительные вибрационные признаки несимметрии тока в фазах: наличие в спектре виброскорости не только составляющей на двойной частоте сети 100 Гц, но и ее первых 2–3-х гармоник на частотах 200, 300, 400 Гц убывающей амплитуды. При значительной несимметрии вокруг этих гармоник появляются модуляционные составляющие с частотой вращения ротора (рис. 4).

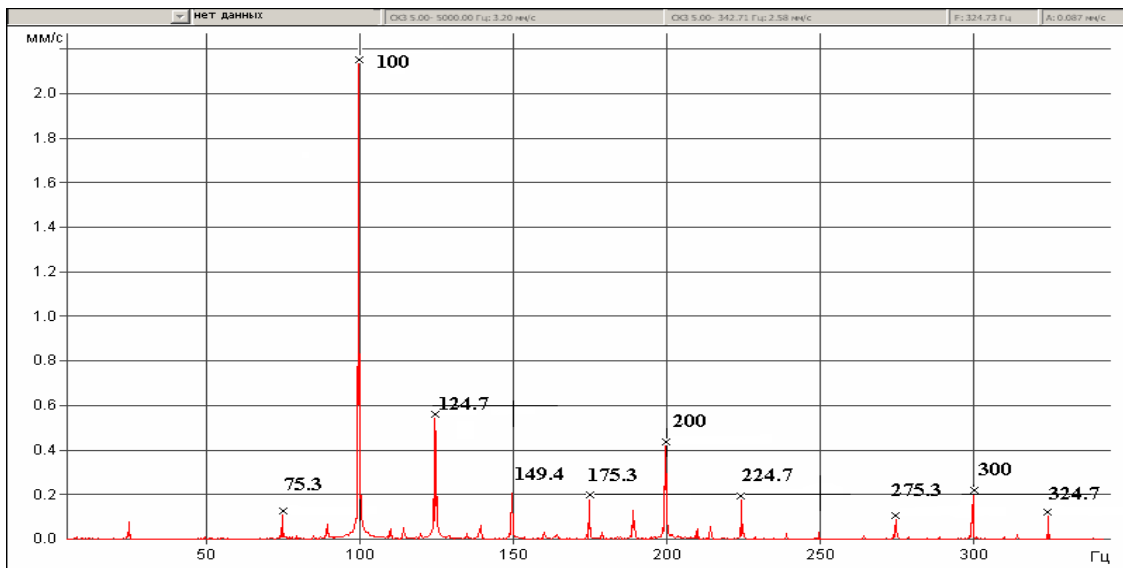


Рис. 4. Спектр виброскорости на электродвигателе АИР90L4У3 при обрыве фазы (100 % несимметрия фазного тока), оборотная частота 24,73 Гц

#### СПИСОК ЛИТЕРАТУРЫ

1. **Шубов, И. Г.** Шум и вибрация электрических машин / И. Г. Шубов. – 2-е изд., перераб. и доп. – Л. : Энергоатомиздат. Ленингр. отд., 1986. – 208 с.